

## بررسی تأثیر الیاف کربن بر خواص مکانیکی کامپوزیت $\text{ZrB}_2\text{-SiC}$

زهره بلک<sup>(۱)</sup>

مهدی عزیزیه<sup>(۲)</sup>

حسین کفاشان<sup>(۳)</sup>

### چکیده

در این تحقیق به تأثیر بررسی الیاف کربن بر سینترپلایری و چقرمگی شکست کامپوزیت  $\text{ZrB}_2\text{-SiC}$  تهیه شده به روش سینتر با جرقه پلا سما پرداخته شده است. برای این منظور، چهار کامپوزیت با درصد الیاف کربن ۱۰، ۲۰، ۳۰ و ۴۰ به روش جرقه پلا سما سینتر شدند. فرآیند سینتر با جرقه پلا سما در دمای ۱۸۰۰ درجه سانتیگراد، زمان ۶ دقیقه تحت فشار ۴۰ مگاپاسکال با نرخ گرم کردن تغیری ۵۰ درجه بر دقیقه انجام شد. بررسی های ریزساختاری با میکروسکوپ الکترونی رویشی انجام شد. سختی و چقرمگی شکست به ترتیب به روش های ماکرو و یکرز و SENB اندازگیری شدند. نتایج نشان داد که با افزایش درصد الیاف کربن، چگالی نسبی نمونه ها کاهش یافته و در صد تخلخل های باز افزایش می یابد. افزایش درصد الیاف کربن در مقادیر بررسی شده در این تحقیق، تأثیر چنان انسی بر سختی کامپوزیت حاصله ندارد. مشخص شد که افزودن الیاف کربن سبب بهبود چقرمگی شکست کامپوزیت  $\text{ZrB}_2\text{-SiC}$  می شود.

**واژه های کلیدی** کامپوزیت  $\text{ZrB}_2\text{-SiC}$ ، الیاف کربن، سینتر با جرقه پلا سما، چقرمگی شکست.

### Effect of Chopped Carbon Fiber on Mechanical Properties of $\text{ZrB}_2\text{-SiC}$ Composite

Z. Balak

M. Azizieh

H. Kafashan

### Abstract

In this research, effect of carbon fiber ( $C_f$ ) and its content on sinter-ability, hardness and fracture toughness of  $\text{ZrB}_2\text{-SiC}$  composites which were produced by spark plasma sintering, was studied. For this purpose, four composites with different  $C_f$  content (10, 20, 30 and 40 vol%) were sintered by spark plasmas at 1800 °C, 40 MPa pressure for 6 minutes with a heating rate of ~50 °C/min. In order to evaluate the microstructure, scanning electron microscopy, EDS and x-ray diffraction was applied. The hardness and fracture toughness were measured by macro-Vickers and SENB method, respectively. In this research,  $C_f$  addition does not have any significant effect on hardness. The results showed by increasing  $C_f$ , relative density decreases and open porosity percent increases. Fracture toughness of  $\text{ZrB}_2\text{-SiC}$  composites was improved by increasing  $C_f$  content.

**Key Words**  $\text{ZrB}_2\text{-SiC}$  composite;  $C_f$ , spark plasma sintering (SPS); fracture toughness.

\* نسخه نخست مقاله در تاریخ ۹۵/۰۲/۲۸ و نسخه پایانی آن در تاریخ ۹۶/۱/۱۹ به دفتر نشریه رسیده است.

(۱) نویسنده مسئول: استادیار، گروه مهندسی مواد، واحد اهواز، دانشگاه آزاد اسلامی، اهواز، ایران.

Email: Zbalak1983@gmail.com

(۲) استادیار، گروه مهندسی مواد، واحد اهواز، دانشگاه آزاد اسلامی، اهواز، ایران.

(۳) استادیار، گروه مهندسی مواد، واحد اهواز، دانشگاه آزاد اسلامی، اهواز، ایران.

این کاربردها می‌باشند. این الیاف در مقیاس بزرگ به ندرت مورد استفاده قرار گرفته‌اند که دلیل اصلی آن هزینه بالای ساخت کامپوزیت‌های تقویت شده با الیاف پیوسته کربن می‌باشد. این محدودیت می‌تواند با استفاده از الیاف کربن خردشده تا حدی مرتفع شود. این الیاف نه تنها نسبت به الیاف پیوسته ارزان‌ترند، بلکه فرآیند تولید آن نیز از نظر اقتصادی مفروض به صرفه‌تر می‌باشد. با استفاده از الیاف خرد شده می‌توان این کامپوزیت‌ها را با روش‌های معمولی چون پرس گرم، ریخته‌گری تزریقی یا اکسیتروژن تولید نمود. به علاوه با توجه به توزیع همگن و سه بعدی الیاف خرد شده کربن، کامپوزیت در همه جهات دارای خواص یکسانی می‌باشد.

ینگ و همکارانش طی تحقیقی به بررسی اثر الیاف کربن بر ریزساختار، چقرمگی و استحکام خمشی کامپوزیت‌های ZrB<sub>2</sub>-20%SiC تهیه شده به روش پرس گرم پرداختند [9-7]. از میان روش‌های مختلف سیتر چون سیتر بدون فشار، پرس گرم و سیتر با جرقه پلاسماء، فرآیند سیتر با جرقه پلاسماء به دلیل کارآیی بسیار خوب در زمینه سیتر سرامیک‌های دما بالا، در این تحقیقی به عنوان روش سیتر انتخاب شده است. به طور کلی هدف از این تحقیق، بررسی خواص مکانیکی کامپوزیت ZrB<sub>2</sub>-SiC-Cf تهیه شده به روش سیتر با جرقه پلاسماء می‌باشد.

### مواد و روش‌ها

مشخصات پودرهای اولیه مورد استفاده در این تحقیق به همراه آنالیز پراش اشعه ایکس آنها در جدول (۱) و شکل (۱) به ترتیب ارائه شده است. در این پژوهش ابتدا پودرهای ZrB<sub>2</sub>، SiC و الیاف کربن تهیه شدند. برای هر نمونه کامپوزیتی پودرها مطابق با مقادیر مشخص شده در جدول (۲) توزین و مخلوط شدند. به منظور کاهش اندازه ذرات و ایجاد اختلاط بهتر با افزودنی‌ها مخلوط پودرها پس از توزین، توسط آسیا سیارهای با سرعت ۲۰۰ دور بر دقیقه به مدت ۳ ساعت آسیا شدند. پس از آسیا، پودرها خشک شده و مخلوط

### مقدمه

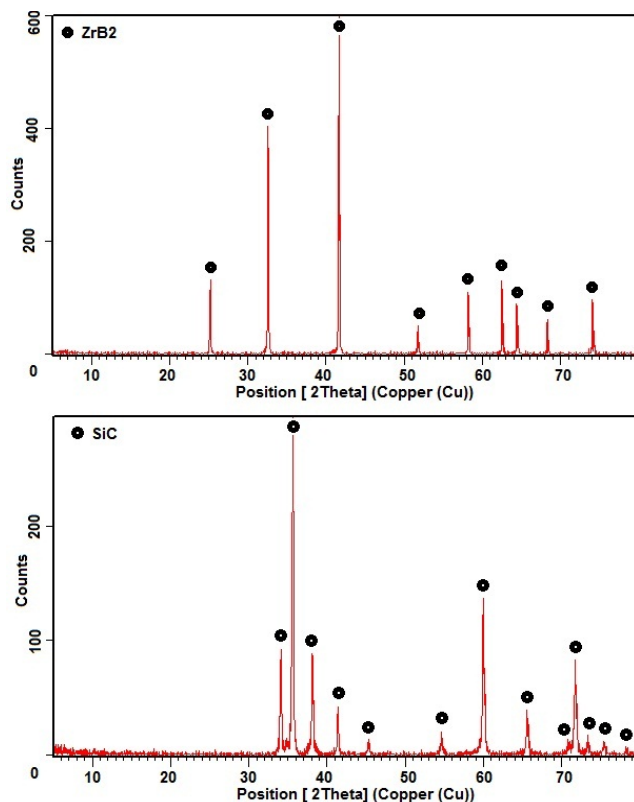
سرامیک‌های مبتنی بر بورایدها، نیتریدها و کاربیدهای فلزهای واسطه، نقطه ذوب‌های (بیش از ۲۵۰۰ درجه سانتیگراد) بسیار بالایی دارند و تحت عنوان خانواده سرامیک‌های فوق دما بالای فلزات واسطه، دی بورایدهایی چون ZrB<sub>2</sub> و HfB<sub>2</sub> دارای ترکیب منحصر بفردی از خواص مکانیکی و فیزیکی چون نقطه ذوب بالا (بیش از ۳۰۰۰ درجه سانتیگراد)، هدایت الکتریکی و حرارتی بالا، بی‌اثری شیمیایی در مقابل فلزات مذاب و مقاومت به شوک حرارتی بالا می‌باشند. بنابراین با وجود این‌که کاربیدها نوعاً بالاترین نقطه‌های ذوب (بیش از ۳۵۰۰ درجه سانتیگراد) را دارند، اما دی بورایدهای ZrB<sub>2</sub> و HfB<sub>2</sub> کاندیدهای جذاب‌تری برای کاربردهای سازه‌ای ترمومکانیکی دما بالا در دماهای بالاتر یا مساوی ۲۰۰۰ درجه سانتیگراد هستند [1-3]. به دلیل چگالی پایین‌تر و هزینه کمتر عملده مطالعات روی دی بوراید زیرکونیم انجام گرفته است. ZrB<sub>2</sub> از پایدارترین بورایدها است. ختنی بودن آن از نظر شیمیایی سبب شده تا ZrB<sub>2</sub> ماده‌ای ایده‌آل برای بوته‌های ذوب فلزات، لوله‌های ترمول برای تصفیه فولاد و قطعات الکتریکی دستگاه‌هایی همچون هیترها و آتش‌زنده‌ها باشد. متأسفانه نظیر بسیاری از سرامیک‌های دیرگذاز کووالانسی، به خاطر حضور پیوند کووالانسی قوی و پایین بودن ضریب نفوذ در خود، سیتر کردن ZrB<sub>2</sub> تا چگالی‌های بالا بسیار دشوار می‌باشد. در این میان، کامپوزیت‌های ZrB<sub>2</sub>-SiC دارای ترکیب منحصر بفردی از خواص فیزیکی و مکانیکی هستند و طی سال‌های اخیر بسیار مورد توجه محققین قرار گرفته‌اند. مشکل اصلی این کامپوزیت‌ها چقرمگی پایین و مستعد بودن آن‌ها به شکست ترد می‌باشد. تاکنون تلاش‌های بسیاری برای رفع این مشکل و بهبود چقرمگی آن‌ها انجام شده است. استفاده از ذرات، ویسکرها و فیرهای تقویت کننده راه حل‌های معمول برای رفع این مشکل می‌باشند [4-6]. الیاف کربنی به دلیل کاهش وزن و پایداری دما بالا، مواد جذابی برای

آزمون چقرمگی به روش SENB انجام شد. بدین منظور نمونه ها در ابعاد  $3 \times 4 \times 22$  میلیمتر مکعب برش داده شدند. سپس شیاری به عمق  $1/5$  میلیمتر با سیم وايرکات در وسط نمونه ايجاد شد. سختی نمونه ها به روش ماکرو ويکرز انجام شد. برای اين منظور نمونه ها مانت شده و سطح آنها تا يك ميكرون پوليش شد. در اين روش از ۵ فرورونده سالم برای تعين سختی استفاده شد. بررسی های ريزساختاري توسط ميكروسکوب الکتروني روبشی روی نمونه های مانت و پوليش شده انجام شد.

پودري حاصله درون قالب گرافيتی استوانه ای شکل که با ورقه گرافيتی پوشش داده شده، شارژ شده و سپس درون محفظه سيتر با جرقه پلاسمما قرار گرفتند. فرآيند سيتر با جرقه پلاسمما با استفاده از دستگاه SPS مدل SPS-20T-10 در دمای  $1800$  درجه سانتيگراد، زمان  $6$  دقيقه تحت فشار  $40$  مگاپاسکال با نرخ گرم کردن تقریبی  $50$  درجه بر دقيقه انجام شد. پس از فرآيند سيتر با جرقه پلاسمما، به منظور برداشت لایه گرافيتی روی سطح نمونه ها، پوليش با سنگ الماسه انجام شد. جهت انجام آزمون های سختی، چقرمگی، بررسی های ريزساختاري، نمونه ها توسط وايرکات برش داده شد.

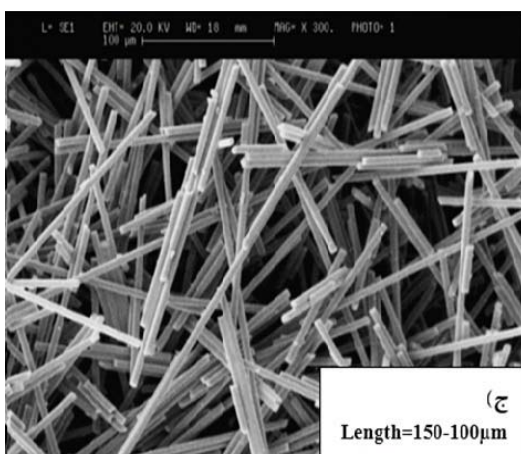
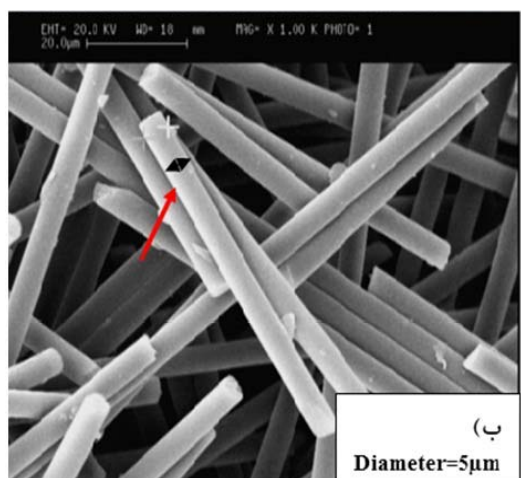
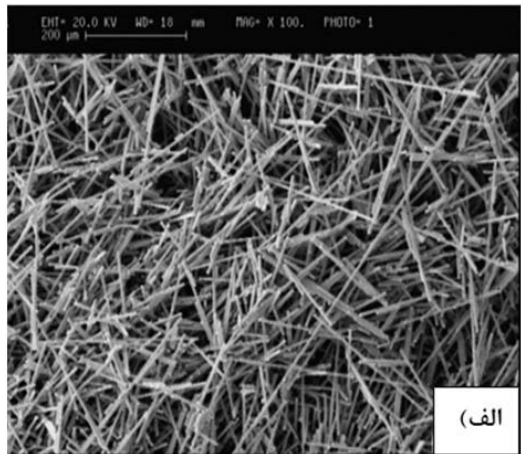
جدول ۱ مشخصات مواد اوليه

نوع پودر	متوسط اندازه دانه / قطر $\mu\text{m}$	شرکت سازنده
ZrB <sub>2</sub>	20	Northwest Institute for Non-Ferrous Metal Research, China, 99.5% purity
SiC	25	Northwest Institute for Non-Ferrous Metal Research, China, 98.7% purity
C <sub>f</sub> , الیاف کربن	5	Torayca Co., Ltd., Tokyo, Japan



شكل ۱ آنالیز پراش اشعه ایکس پودرهای اولیه

دقیقه) افزایش یافته و پس از رسیدن به دمای مورد نظر ثابت باقی می‌ماند.



شکل ۲ تصویر میکروسکوپ الکترونی رویشی الیاف کربن قبل از فرآیند سیتر با جرقه پلاسما

جدول ۲ علامت اختصاری و ترکیب شیمیایی کامپوزیت‌های

تهیه شده

ZrB <sub>2</sub> , vol%	C <sub>f</sub> , vol%	SiC, vol%	علامت اختصاری
۷۰	۱۰	۲۰	ZS ۱۰C <sub>f</sub>
۶۰	۲۰	۲۰	ZS ۲۰C <sub>f</sub>
۵۰	۳۰	۲۰	ZS ۳۰C <sub>f</sub>
۴۰	۴۰	۲۰	ZS۴۰C <sub>f</sub>

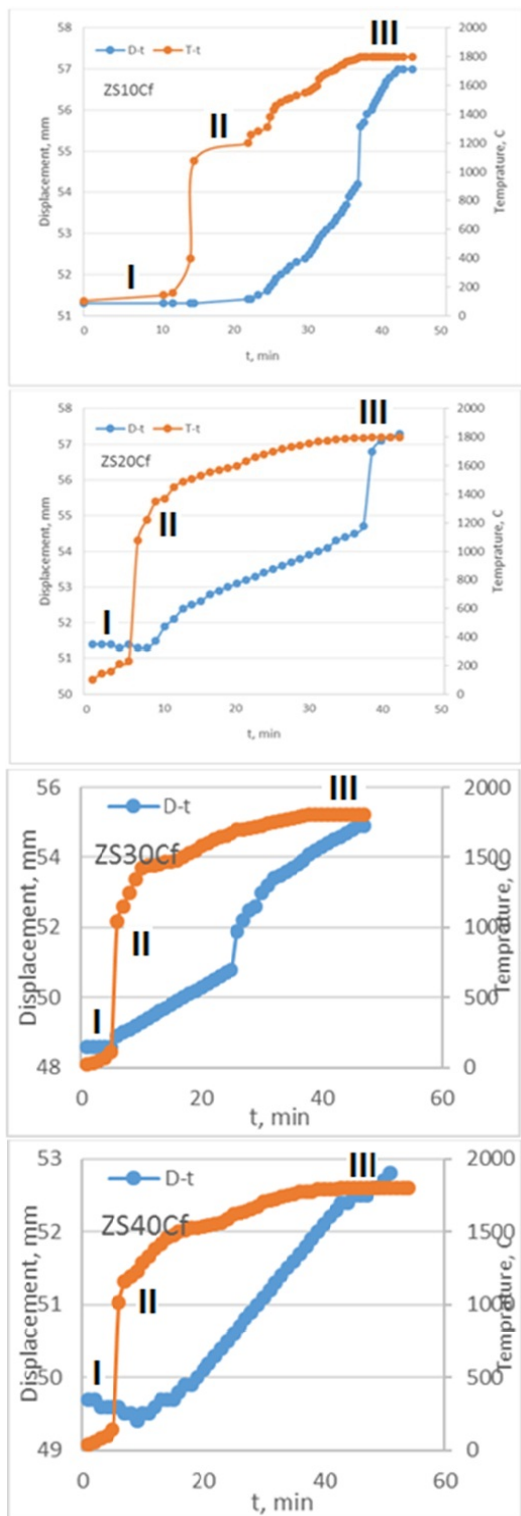
## نتایج و بحث

### بررسی‌های ریزساختاری

شکل (۲) تصاویر میکروسکوپ الکترونی رویشی الیاف کربن را نشان می‌دهد. همان‌گونه که مشاهده می‌شود، الیاف کربن دارای قطر ۵ (شکل ۲-الف-ج) و طول حدود ۱۰۰-۱۵۰ میکرومتر (شکل ۲-الف-ج) می‌باشدند که طی فرآیند سیتر، به حدود ۵۰ میکرومتر کاهش می‌یابد (شکل ۳).

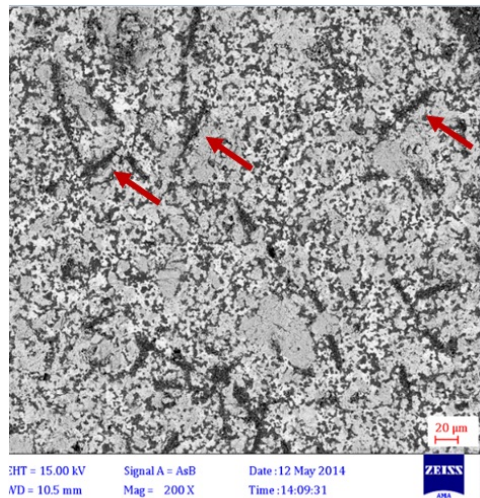
کاهش طول اولیه الیاف کربن عمدتاً به دو دلیل رخ می‌دهد، اول این‌که، اعمال فرآیند آسیاب سبب شکسته شدن الیاف می‌شوند. دوم این‌که، بعضی از الیاف در اثر انقباض حجمی بدنه خام طی فرآیند سیتر با جرقه پلاسما شکسته می‌شوند. ریزساختار کامپوزیت سیتر شده در شکل‌های (۳) و (۴) ارائه شده است. با توجه به شکل (۴) (تصویر میکروسکوپ الکترونی رویشی و آنالیز خطی)، دانه‌های سیاه رنگ، SiC (با فلش مشخص شده‌اند) و دانه‌های خاکستری رنگ ZrB<sub>2</sub> می‌باشند.

رفتار سیترپذیری و انقباض در سیتر با جرقه پلاسما به منظور بررسی رفتار سیترپذیری کامپوزیت‌ها در فرآیند سیتر با جرقه پلاسما و میزان انقباض آن‌ها، منحنی‌های جابه‌جایی-زمان-دما کامپوزیت‌ها در شکل (۵) ارائه شده است. همان‌گونه که در شکل (۵) مشاهده می‌شود، منحنی زمان-دما تمامی کامپوزیت‌ها شامل سه ناحیه متمایز می‌باشد. در ناحیه اول دما با نرخ آهسته‌ای افزایش می‌یابد (۰-۵ دقیقه اول). در ناحیه دوم (۱۰ دقیقه دوم) دما با نرخ بسیار بالایی (۱۶۰ درجه بر

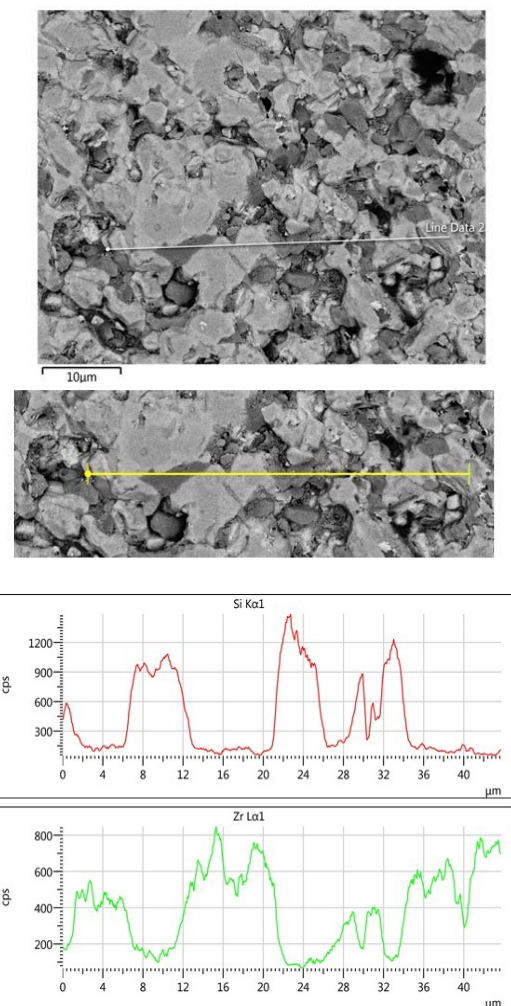


شکل ۵ منحنی های جابه جایی - زمان - دما کامپوزیت ها

به علاوه با توجه به منحنی های جابه جایی - زمان مشاهده می شود که در این منحنی ها، جابه جایی ابتدا



شکل ۳ تصویر میکروسکوپ الکترونی روبشی کامپوزیت  $10C_f$  که الیاف کربن را نشان می دهد

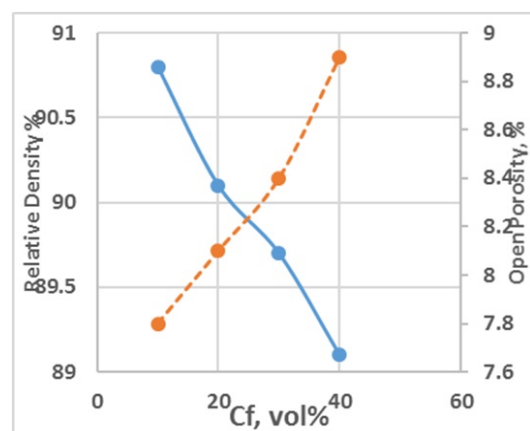


شکل ۴ تصویر میکروسکوپ الکترونی روبشی کامپوزیت  $10C_f$  که دانه های  $SiC$  و  $ZrB_2$  را نشان می دهد

علاوه در جدول (۴) میزان تخلخل‌های باز محاسبه شده، ارائه شده است. مشاهده می‌شود که هر دو چگالی تئوری و بالک کامپوزیت حاصله، با افزایش میزان الیاف کربن، به دلیل چگالی پایین آن، کاهش می‌یابند. تأثیر الیاف کربن بر چگالی نسبی و درصد تخلخل‌های باز در شکل (۶) ارائه شده است. مشاهده می‌شود که درصد تخلخل‌های باز با افزایش الیاف کربن، افزایش می‌یابد. اختلاف ضریب انبساط حرارتی بین زمینه و فازهای تقویت‌کننده، تنفس کششی و فشاری در زمینه و فاز ثانویه ایجاد می‌کند. این تنفس سبب جداشی فصل مشترک تخلخل در فصل مشترک می‌شود. به عبارت با افزایش الیاف کربن در هر ترکیب، آگلومره الیاف افزایش یافته که متعاقباً مانع سیسترپذیری کامل کامپوزیت می‌شود [11].

جدول ۴ نتایج میانگین چگالی تئوری، بالک، نسبی و درصد تخلخل‌های باز کامپوزیت‌ها

تخلخل‌های باز (درصد)	چگالی نسبی (درصد)	چگالی بالک g/cm <sup>3</sup>	چگالی تئوری g/cm <sup>3</sup>	کامپوزیت
۷/۸	۹۰/۸	۵/۵۱	۵/۰۱	ZS ۱۰C <sub>f</sub>
۸/۱	۹۰/۱	۵/۰۸	۴/۵۸	ZS ۲۰C <sub>f</sub>
۸/۴	۸۹/۷	۴/۶۲	۴/۱۵	ZS ۳۰C <sub>f</sub>
۸/۹	۸۹/۱	۴/۱۷	۳/۷۲	ZS ۴۰C <sub>f</sub>



شكل ۶ تأثیر الیاف کربن بر چگالی نسبی و درصد تخلخل‌های باز

رونده کاهشی و سپس روند افزایشی دارد. کاهش اولیه بیانگر انبساط صورت گرفته است که ناشی از گازهای ایجاد شده در اثر تبخیر ناخالصی‌ها و آلودگی‌های سطحی می‌باشد.

با توجه به شکل (۵) و جدول (۳) مشاهده می‌شود که رفتار انقباضی کامپوزیت‌ها به کسر حجمی الیاف کربن مرتبط می‌باشد. بسته میزان الیاف کربن، دمای شروع انقباض در محدوده بین ۱۵۰۰-۱۲۸۰ درجه سانتیگراد قرار دارد. دمای شروع انقباض برای ZS40C<sub>f</sub> و ZS30C<sub>f</sub> ZS20C<sub>f</sub> و ZS10C<sub>f</sub> به ترتیب حدود ۱۵۰۰، ۱۴۲۰، ۱۳۵۰ و ۱۲۸۰ درجه سانتیگراد می‌باشد. نتایج به دست آمده با نتایج سایر محققین [10] سازگاری دارد.

به علاوه مشخص است که افزایش الیاف کربن از ۱۰ تا ۴۰ درصد حجمی، سبب کاهش میزان جابه‌جایی (انقباض) می‌شود. افزایش دمای شروع انقباض و کاهش میزان جابه‌جایی (انقباض) با الیاف کربن نشان می‌دهد که حضور الیاف، از وقوع مکانیزم‌های چگالش پودر ZrB<sub>2</sub>-SiC، مثل نفوذ مرز دانه‌ای و مهاجرت مرز دانه‌ای، ممانعت به عمل می‌آورد [10].

جدول ۳ نتایج درصد انقباض و دمای شروع انقباض کامپوزیت‌ها

دماهی شروع انقباض (درجه سانتیگراد) (میلیمتر)	میزان جابه‌جایی (میلیمتر)	کامپوزیت
≈۱۲۸۰	۵/۸	ZS ۱۰C <sub>f</sub>
≈۱۳۵۰	۵/۷	ZS ۲۰C <sub>f</sub>
≈۱۴۲۰	۵/۱	ZS ۳۰C <sub>f</sub>
≈۱۵۰۰	۳/۳	ZS ۴۰C <sub>f</sub>

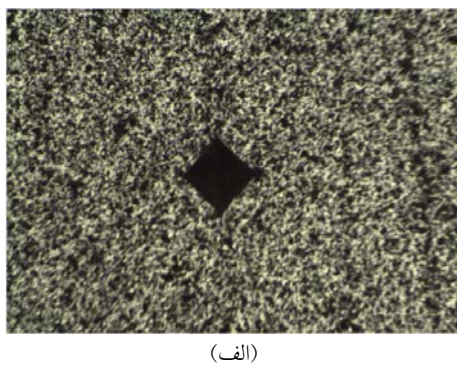
### چگالی

به منظور ارزیابی سیسترپذیری کامپوزیت‌ها، چگالی تئوری کامپوزیت‌ها به روش قانون مخلوط کامپوزیت‌ها و چگالی بالک نیز به روش ارشمیدس محاسبه شده و چگالی نسبی از تقسیم چگالی تئوری به بالک به دست آمد. نتایج چگالی‌ها در جدول (۴) ارائه شده است. به

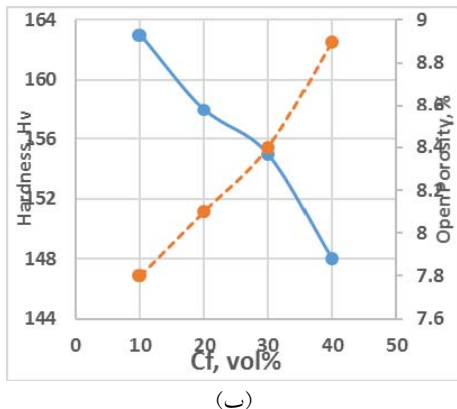
استفاده در این تحقیق میکرو بوده در حالی که در تحقیق نصیری نانو می باشد که همگی توانایی بالای فرآیند سیتر با جرقه پلاسمما را در سیتر سرامیک های دما بالا نشان می دهد.

### سختی

شکل (۷-الف) تصویر میکروسکوپ نوری ایندنت ایجاد شده به روش ماکرو ویکرز را نشان می دهد. برای اندازه گیری سختی، میانگین ۵ ایندنت سالم گزارش شد. منحنی سختی بر حسب میزان الیاف کربن در شکل (۷-ب) ارائه شده است. با توجه به شکل (۷-ب)، با افزایش الیاف کربن از ۱۰ تا ۵۰ درصد حجمی، سختی به میزان اندکی (در محدوده Hv ۱۴۸ تا ۱۶۳) تغییر می کند که این امر به دلیل ذاتی بودن سختی می باشد.



(الف)



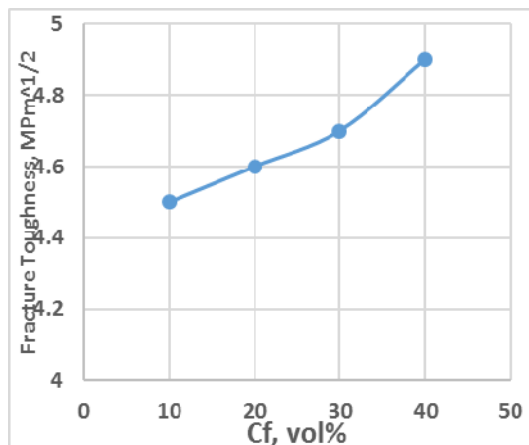
شکل ۷ (الف) تصویر میکروسکوپ نوری فرورونده ایجاد شده به روش ماکرو ویکرز، (ب) تأثیر الیاف کربن بر سختی و درصد تخلخل های باز

گوو و همکارانش [10] تأثیر  $C_f$  را بر کامپوزیت های  $HfB_2$  با  $20-50 \text{ vol\% SiC}$  با  $20-50 \text{ wt\% C}_f$  به روشن پرس گرم در دما  $2100$  درجه سانتیگراد، فشار  $20 \text{ مگاپاسکال}$  و  $20 \text{ دقیقه}$  مورد مطالعه قرار دادند. آنها نتیجه گیری کردند که رفتار انقباض کامپوزیت ها به کسر حجمی الیاف وابسته است. دمای شروع چگالش برای کامپوزیت هایی با  $20, 30, 40$  و  $50$  درصد حجمی  $C_f$  باشد. مشخص است که با افزایش درصد حجمی  $C_f$  دمای شروع چگالش افزایش می یابد. این نشان می دهد که حضور الیاف، از وقوع مکانیزم های چگالش پودر  $HfB_2-SiC$ ، مثل نفوذ مرز دانه ای و مهاجرت مرز دانه ای، ممانعت به عمل می آورد.

چگالی نسبی نیز با افزایش میزان الیاف کربن، کاهش می یابد. آگلومره الیاف کربن طی فرآیند آسیاب پر انرژی که سبب درشت شدن دانه های  $ZrB_2$  طی فرآیند سیتر می شود. زمانی که الیاف کربن آگلومره می شوند و در مرز دانه ها دچار جایش می شوند، نفوذ  $ZrB_2$  در مرز دانه محدود شده یا به نفوذ در دانه های  $ZrB_2$  کمک می شود. در نتیجه، در مقادیر بالای الیاف کربن، رشد دانه  $ZrB_2$  رخ می دهد. به عبارت دیگر، از چگالش در حضور ناخالصی های اکسیدی ممانعت به عمل می آورد [11].

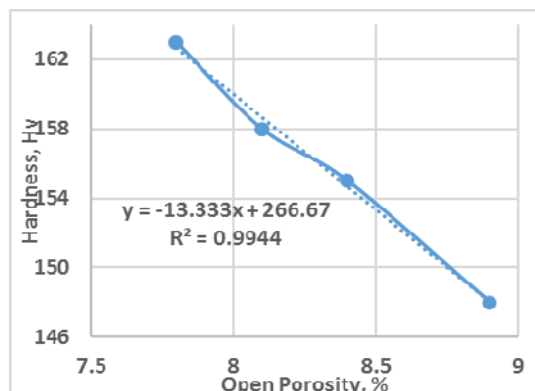
چگالی نسبی به دست آمده در این تحقیق (۱/۹۰٪) در مقایسه با مقادیر گزارش شده توسط نصیری و همکارانش [11] روی کامپوزیت  $7/5 \text{ wt\% } C_f - 20 \text{ wt\% } ZrB_2-15SiC$  (به طور تقریبی معادل  $20 \text{ wt\% } C_f$ ) تهیه شده به روش سیتر بدون فشار در دمای  $2150$  درجه سانتیگراد ( $89\%$  بالاتر می باشد که قابلیت فرآیند سیتر با جرقه پلاسمما را نشان می دهد. به علاوه قابل ذکر است که نتایج این تحقیق در دما و زمان بسیار کمتر ( $1800$  درجه سانتیگراد نسبت به  $2150$  درجه سانتیگراد و زمان  $6$  دقیقه نسبت به  $60$  دقیقه) در مقایسه با تحقیق انجام شده توسط نصیری [11] حاصل شده است. همچنین قابل ذکر است که پودر  $SiC$  مورد

باید یکی از مکانیزم‌های چقرمه شدن باشد، چراکه پیج خوردن ترک در امتداد فصل مشترک الیاف/زمینه نسبت به مسیر مستقیم انرژی بیشتری را مصرف می‌کند. در نتیجه، واکنش‌های ترک با الیاف خرد شده طی شکست، انرژی سطح شکست را افزایش داده و سبب بهبود چقرمه‌گی می‌شود. به علاوه، در تحقیق انجام شده توسط نصیری و همکارانش [11] مسیرهای انتشار ترک در گوشه‌های آزمون میکروسختی (در شکل ۱۰) [11]، پل زنی ترک در پشت نوک ترک مشاهده می‌شود. اثرات این واکنش‌ها مصرف انرژی ترک طی شکست و بهبود چقرمه‌گی می‌باشد.



شکل ۹ تأثیر الیاف کربن بر چقرمه‌گی شکست

کاهش اندک سختی با الیاف کربن را می‌توان با افزایش درصد تخلخل‌های باز با الیاف کربن نسبت داد. از آنجایی که تخلخل‌ها در مقابل نیروی اعمالی مقاومتی از خود نشان نمی‌دهند، از این‌رو با افزایش آنها، نیروی اعمالی و به تبع آن سختی کاهش می‌یابد. در شکل (۸) سختی بر حسب درصد تخلخل‌های باز به طور آماری رسم شده است. واضح است که سختی به طور معکوس با افزایش درصد تخلخل‌های باز، کاهش می‌یابد. به علاوه، مقدار بالای  $R^2 = 0.9944$ ، بیانگر وابستگی بالای سختی به درصد تخلخل‌های باز می‌باشد.



شکل ۸ سختی بر حسب درصد تخلخل‌های باز چقرمه‌گی شکست



شکل ۱۰ انحراف ترک وقتی به الیاف کربن می‌رسد [11]

شکل (۹) چقرمه‌گی شکست را بر حسب میزان الیاف کربن نشان می‌دهد. افزایش الیاف کربن سبب بهبود چقرمه‌گی شکست می‌شود. نتایج به دست آمده با نتایج سایر محققین [9-۱۱] سازگاری دارد. در واقع مکانیزم‌های اصلی چقرمه شدن با الیاف کربن بدین صورت می‌باشند: وقتی کرنش شکست زمینه کمتر از الیاف باشد، با افزایش نیرو، رشد ترک به سمت زمینه می‌باشد. این ترک تا جای در زمینه رشد می‌کند که به الیاف بررسد. وقتی ترک به الیاف می‌رسد، متوقف شده و انرژی آن کاهش می‌یابد و در نتیجه سبب افزایش چقرمه‌گی می‌شود.

به علاوه، براساس مطالعات [9-۱۱] ترک مسیر زیگزاکی را طی می‌کند. از این‌رو، انحراف ترک

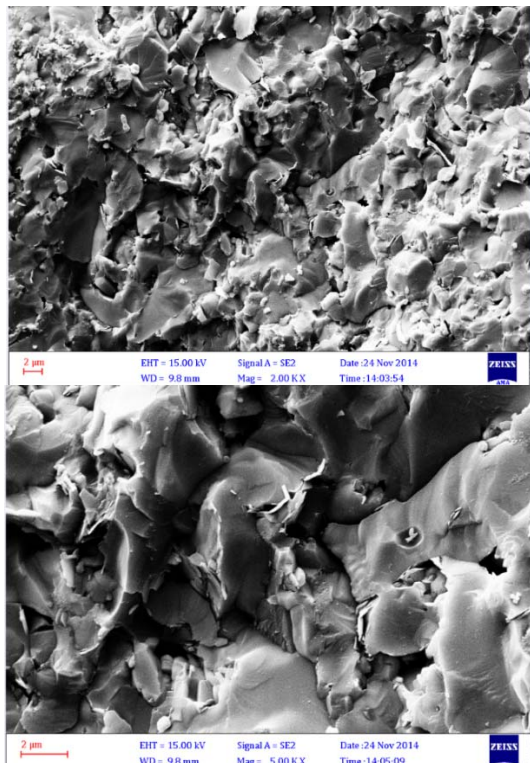
کامپوزیت می باشد. به علاوه پستی و بلندی های مشاهده در ریزساختار بیانگر این است که مکانیزم غالب شکست بین دانه ای بوده که سبب بهبود چرمگی می شود.

### نتیجه‌گیری

۱. با افزایش درصد کربن، چگالی نسبی کاهش یافته و درصد تخلخل های باز افزایش می یابد.
۲. افزایش درصد الیاف کربن سبب بهبود چرمگی سرامیک های پایه ZrB<sub>2</sub> می باشد. حضور الیاف سبب شده تا ترک مسیر زیگزاکی را طی می کند. از این رو، انحراف ترک باید یکی از مکانیزم های چرمه شدن باشد.
۳. افزایش درصد الیاف کربن در مقادیر بررسی شده در این تحقیق، تاثیر چندانی بر سختی کامپوزیت حاصله ندارد.
۴. ساخت کامپوزیت ZrB<sub>2</sub>-SiC-C<sub>f</sub> با روش سیتر با جرقه پلاسمای نسبت به روش سیتر بدون (PS) در دما و زمان سیتر کمتری انجام می گیرد.

### سپاسگزاری

این تحقیق مستخرج از طرح تحقیقاتی با عنوان "تأثیر الیاف کربن خرد شده بر خواص مکانیکی کامپوزیت ZrB<sub>2</sub>-SiC SPS" است که تحت حمایت مالی دانشگاه آزاد اسلامی واحد اهواز انجام شده است.



شکل ۱۱ سطوح شکست کامپوزیت ZS 10C<sub>f</sub> در دو بزرگنمایی (الف) KX 5، (ب) KX 2

به علاوه نصیری [11] مشاهده نمود که ترک الیاف را نمی شکند ولی سبب شکست زمینه می شود. در واقع، پل زنی ترک با الیاف مکانیزم دیگر افزایش چرمگی است. اگر تنش در این ناحیه بالاتر از استحکام شکست زمینه باشد (و کمتر از استحکام شکست الیاف)، زمینه دچار شکست شده ولی الیاف از طریق پل زنی ترک، از گسیختگی زمینه ممانعت به عمل می آورد. شکل (۱۱) سطوح شکست کامپوزیت ZS10C<sub>f</sub> را در دو بزرگنمایی نشان می دهد. همان گونه که مشاهده می شود. سطح زیر شکست نشان می دهد که انحراف ترک یکی از مکانیزم های چرمه شدن در این

### مراجع

1. Chamberlain, A.L., Fahrenholtz W.G., Hilmas G.E., "Pressureless of zirconium diboride", *Journal of the American Ceramic Society*, Vol. 89, pp. 450-456, (2006).
2. Licheri R., Orrù R., Musa C., Cao G., "Combination of SHS and SPS Techniques for fabrication of fully dense ZrB<sub>2</sub>-ZrC-SiC composites", *Material Letters*, pp. 432–435, (2008).

3. George M.R., "Studies of ultra- high temperature ceramic composite components: synthesis and characterization of HfO<sub>x</sub>C<sub>y</sub> and Si oxidation in atomic oxygen containing environments", Ph.D. Thesis, Vander Bilt University, pp. 40-43, (2008).
4. Guo S.Q., "Densification of ZrB<sub>2</sub>-based composites and their mechanical and physical properties: A review", *Journal of European Ceramic Society*, Vol. 29, pp. 995–1011, (2009).
5. Guo W.M., Yang Z.G., Vleugels J., Zhang G.J., "Effect of pressure loading cycle on spark plasma sintered ZrB<sub>2</sub>-SiC-Yb<sub>2</sub>O<sub>3</sub> ceramics", *Ceramics International*, Vol. 38, pp. 5293–5297, (2012).
6. Guo W.M., Vleugels J., Zhang G.J., Wang P.L., Van der Biest O., "Effect of heating rate on densification, microstructure and strength of spark plasma sintered ZrB<sub>2</sub>-based ceramics", *Scripta Materialia*, Vol. 62, pp. 802–805, (2010).
7. Yang F., Zhang X., Han J., Du S., "Mechanical properties of short carbon fiber reinforced ZrB<sub>2</sub>-SiC ceramic matrix composites", *Material Letters*, Vol. 62, pp. 2925–2927, (2008).
8. Yang F., Zhang X., Han J., Du S., "Processing and mechanical properties of short carbon fibers toughened zirconium diboride-based ceramics", *Materials and Design*, Vol. 29, pp. 1817–1820, (2008).
9. Yang F., Zhang X., Han J., Du S., "Characterization of hot-pressed short carbon fiber reinforced ZrB<sub>2</sub>-SiC ultra-high temperature ceramic composites", *Journal of Alloys and Compounds*, Vol. 472, pp. 395–399, (2009).
10. Guo S., Naito K., Kagaw Y., "Mechanical and physical behaviors of short pitch-based carbon fiber-reinforced HfB<sub>2</sub>-SiC matrix composites", *Ceramics International*, Vol. 39, pp. 1567–1574, (2013).
11. Nasiri Z., Mashadi M., Abdollahi A., "Effect of short carbon fiber addition on Pressureless densification and mechanical properties of ZrB<sub>2</sub>-SiC-Csf nanocomposite", Vol. 51, pp. 216-223, (2016).